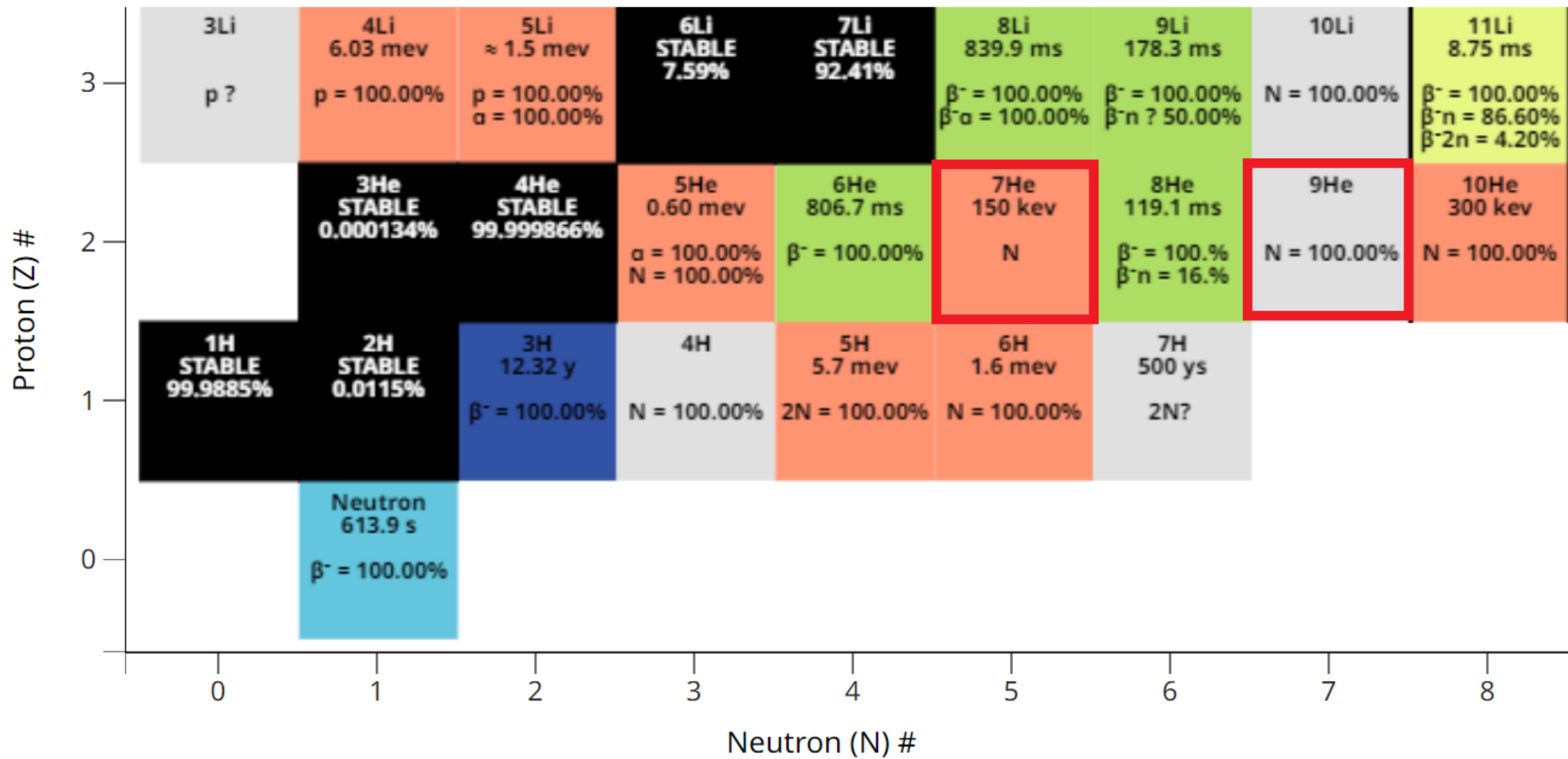




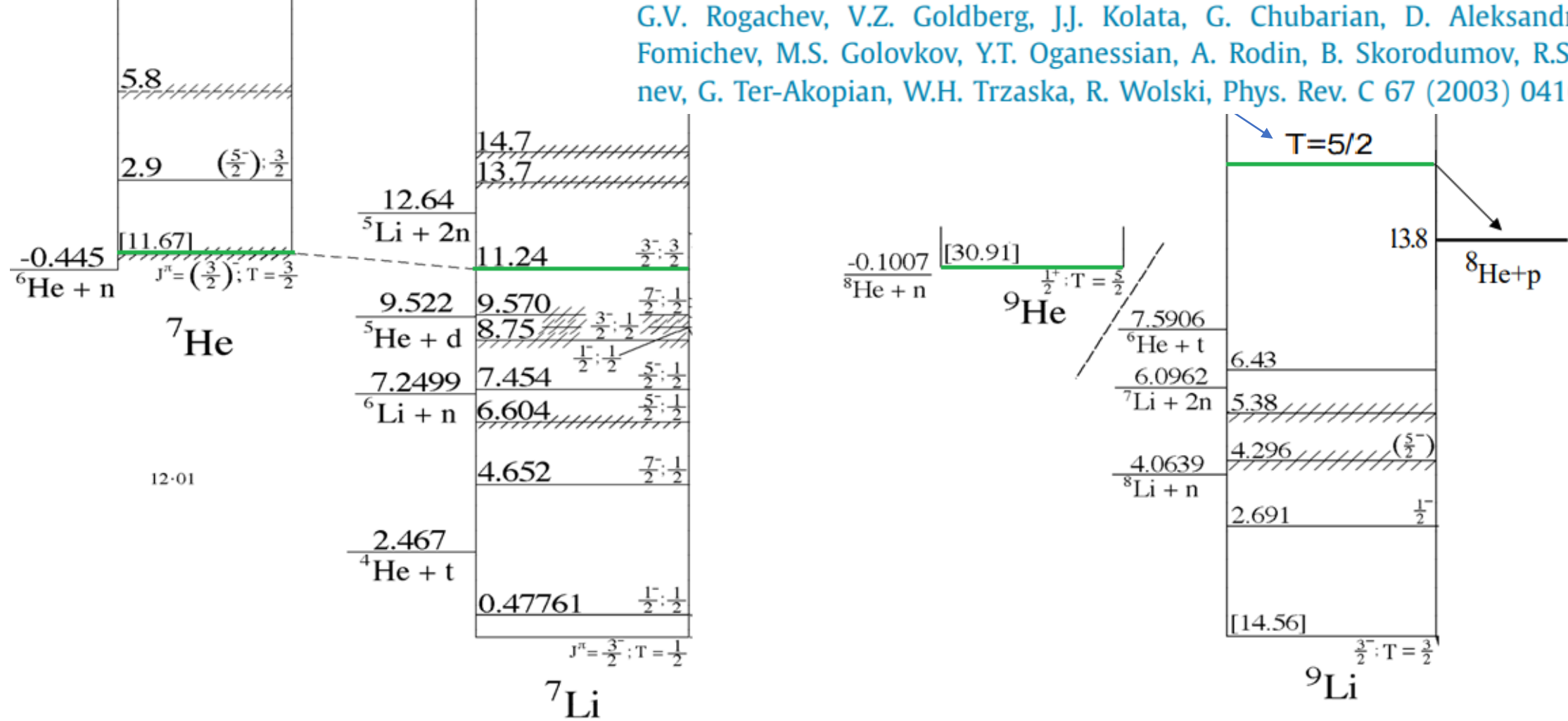
Изучение нейтроноизбыточных изотопов гелия методом резонансного рассеяния

Семинар НИИЯФ 15.09.22



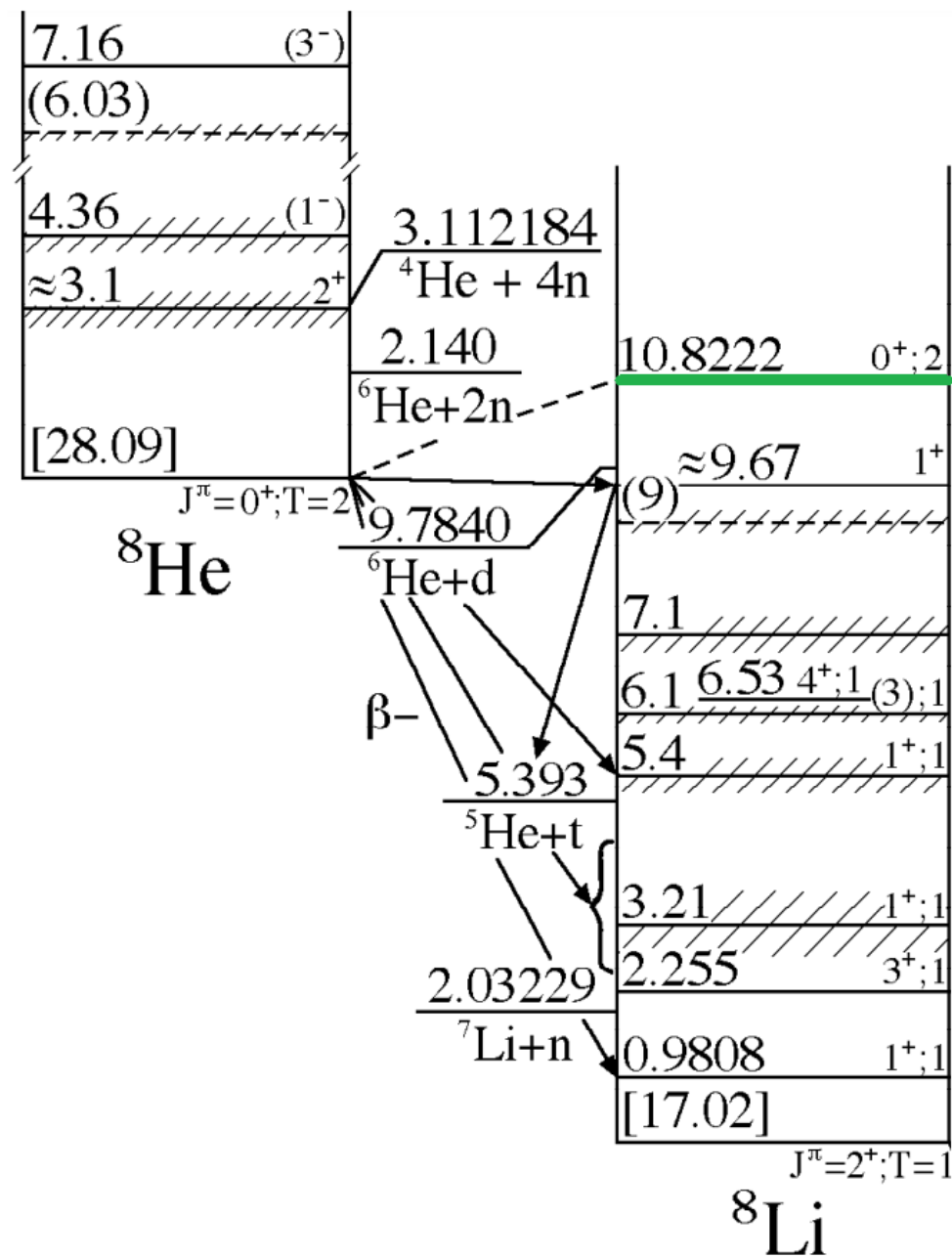
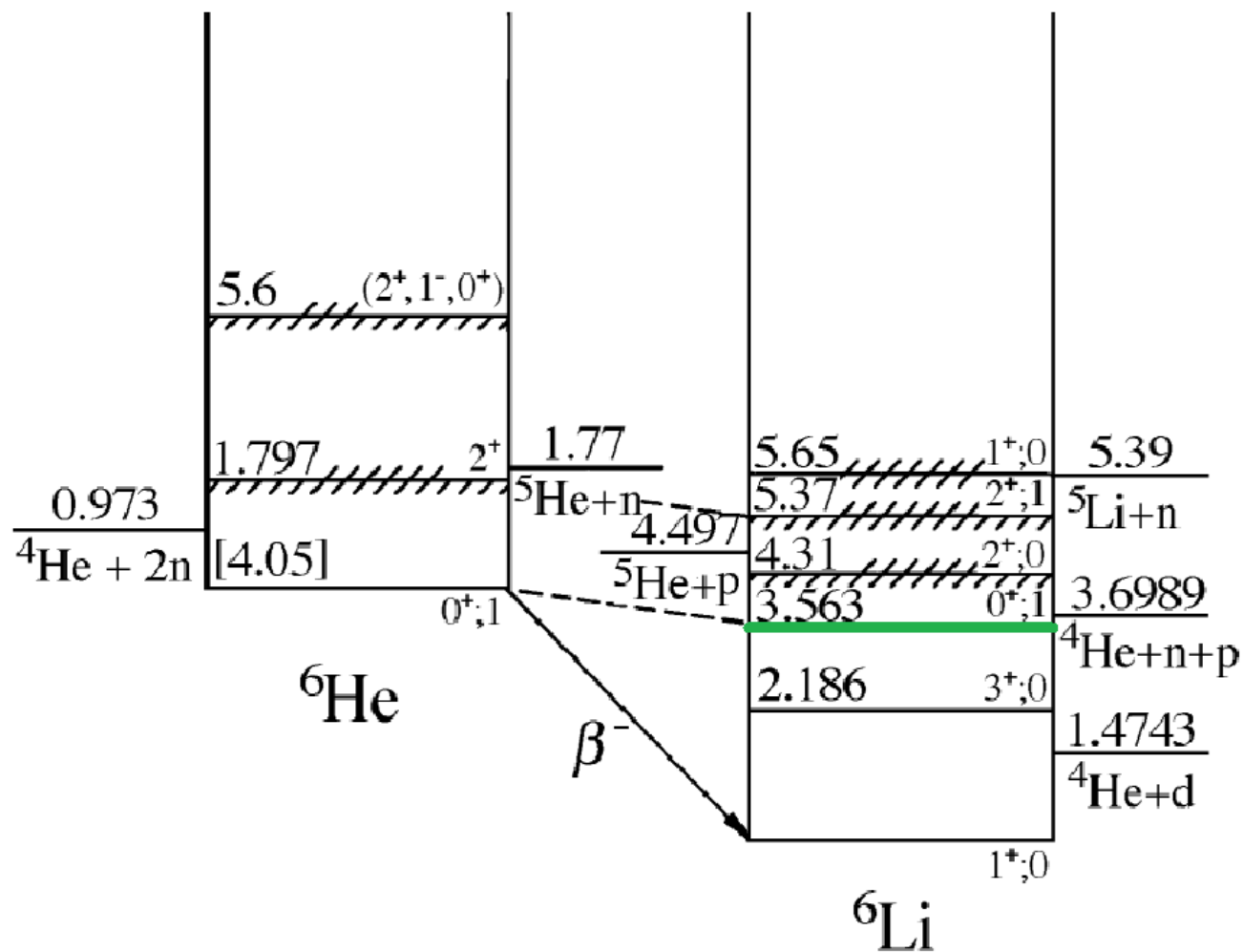
ТТІК метод

- Технику резонансного рассеяния радиоактивных пучков на водородной мишени для изучения экзотических нейтроноизбыточных изотопов впервые предложили В. З. Гольдберг и Г.В. Рогачев в 90ые годы (так называемый Thick Target Inverse Kinematics метод).
- Гольдбергом было также предложено рассеивая ядра $(N-1, Z)$ на водороде получать информацию о состояниях в ядрах (N, Z) .



${}^1\text{H}({}^8\text{He}, {}^8\text{He}){}^1\text{H}$

From an analysis of the excitation function for ${}^8\text{He} + p$ elastic scattering obtained by the thick target inverse kinematics method, three $T = 5/2$ states of ${}^9\text{Li}$ were identified at $E_x = 16.0 \pm 0.1$, 17.1 ± 0.2 , and 18.9 ± 0.1 MeV. The corresponding widths are < 100 , 800 ± 300 , and 240 ± 100 keV, respectively. The properties of the three levels are compared with the apparent analog states in ${}^9\text{He}$ ([2003RO07](#)).



Волновые функции в кластерном представлении можно переписать через состояния с чистым изоспином следующим образом:

$$|{}^8\text{He} + p\rangle = C_{2-2\ 1/2\ 1/2}^{3/2\ -3/2} |3/2, -3/2\rangle + C_{2-2\ 1/2\ 1/2}^{5/2\ -3/2} |5/2, -3/2\rangle$$

$$|{}^8\text{Li}^* + n\rangle = C_{2-1\ 1/2\ -1/2}^{3/2\ -3/2} |3/2, -3/2\rangle + C_{2-1\ 1/2\ -1/2}^{5/2\ -3/2} |5/2, -3/2\rangle$$

То есть:

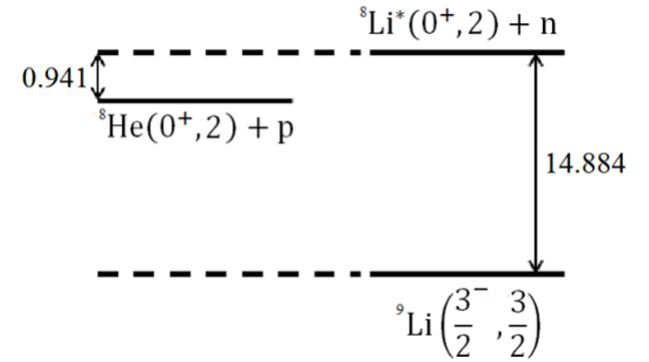
$$|{}^8\text{He} + p\rangle = -\sqrt{\frac{4}{5}} |3/2, -3/2\rangle + \sqrt{\frac{1}{5}} |5/2, -3/2\rangle$$

$$|{}^8\text{Li}^* + n\rangle = \sqrt{\frac{1}{5}} |3/2, -3/2\rangle + \sqrt{\frac{4}{3}} |5/2, -1/2\rangle$$

Выделив состояния с чистым изоспином, имеем:

$$|3/2, -3/2\rangle = -\sqrt{\frac{4}{5}} |{}^8\text{He} + p\rangle + \sqrt{\frac{1}{5}} |{}^8\text{Li}^* + n\rangle$$

$$|5/2, -3/2\rangle = \sqrt{\frac{1}{5}} |{}^8\text{He} + p\rangle + \sqrt{\frac{4}{5}} |{}^8\text{Li}^* + n\rangle$$



Ранее:

Изоспиновое смешивание в Ξ -гиперядрах

$$Z=(A-2)/2!$$

$$|{}^A_{\Xi}Z\rangle_{GS} - ?$$

$$|{}^A_{\Xi}Z\rangle_{GS} \approx |{}^{A-1}(Z+1) + \Xi^- \rangle$$

Чистые
зарядовые
состояния

либо

$$|{}^A_{\Xi}Z\rangle_{GS} \approx |{}^{A-1}Z + \Xi^0 \rangle$$

$$|{}^A_{\Xi}Z\rangle_{GS} \approx \frac{\sqrt{2}}{2} |{}^A_{\Xi^0 Z} \rangle \pm \frac{\sqrt{2}}{2} |{}^A_{\Xi^- Z} \rangle$$

Чистые
изоспиновые
состояния

$$|{}^A_{\Xi}Z\rangle_{GS} \approx |T=1 \rangle$$

либо

$$|{}^A_{\Xi}Z\rangle_{GS} \approx |T=0 \rangle$$

$$|{}^A_{\Xi}Z\rangle_{GS} \approx \frac{\sqrt{2}}{2} |T=0 \rangle \pm \frac{\sqrt{2}}{2} |T=1 \rangle$$

Межкластерное взаимодействие можно записать в следующем виде:

$$\hat{V} = \hat{P}_{3/2}V_{3/2} + \hat{P}_{5/2}V_{5/2}, \text{ где проекционные операторы}$$

$$\hat{P}_{3/2} = |3/2, -3/2\rangle\langle 3/2, -3/2|$$

$$\hat{P}_{5/2} = |5/2, -3/2\rangle\langle 5/2, -3/2|$$

Переходные матричные элементы:

$$\langle {}^8\text{Li}^* + n | \hat{P}_{3/2} | {}^8\text{Li}^* + n \rangle = 1/5$$

$$\langle {}^8\text{Li}^* + n | \hat{P}_{5/2} | {}^8\text{Li}^* + n \rangle = 4/5$$

$$\langle {}^8\text{Li}^* + n | \hat{P}_{3/2} | {}^8\text{He} + p \rangle = -2/5$$

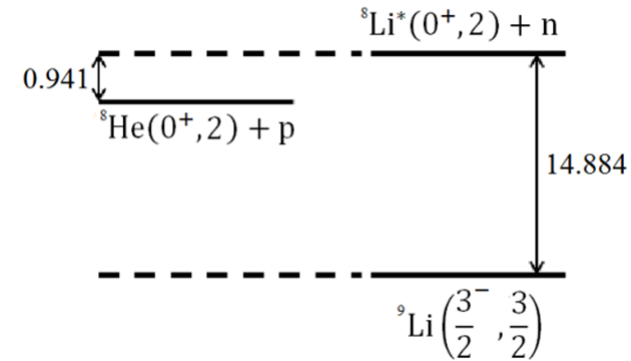
$$\langle {}^8\text{Li}^* + n | \hat{P}_{5/2} | {}^8\text{He} + p \rangle = 2/5$$

$$\langle {}^8\text{He} + p | \hat{P}_{3/2} | {}^8\text{He} + p \rangle = 4/5$$

$$\langle {}^8\text{He} + p | \hat{P}_{5/2} | {}^8\text{He} + p \rangle = 1/5$$

Таким образом, имеем систему уравнений Шрёдингера со связанными каналами:

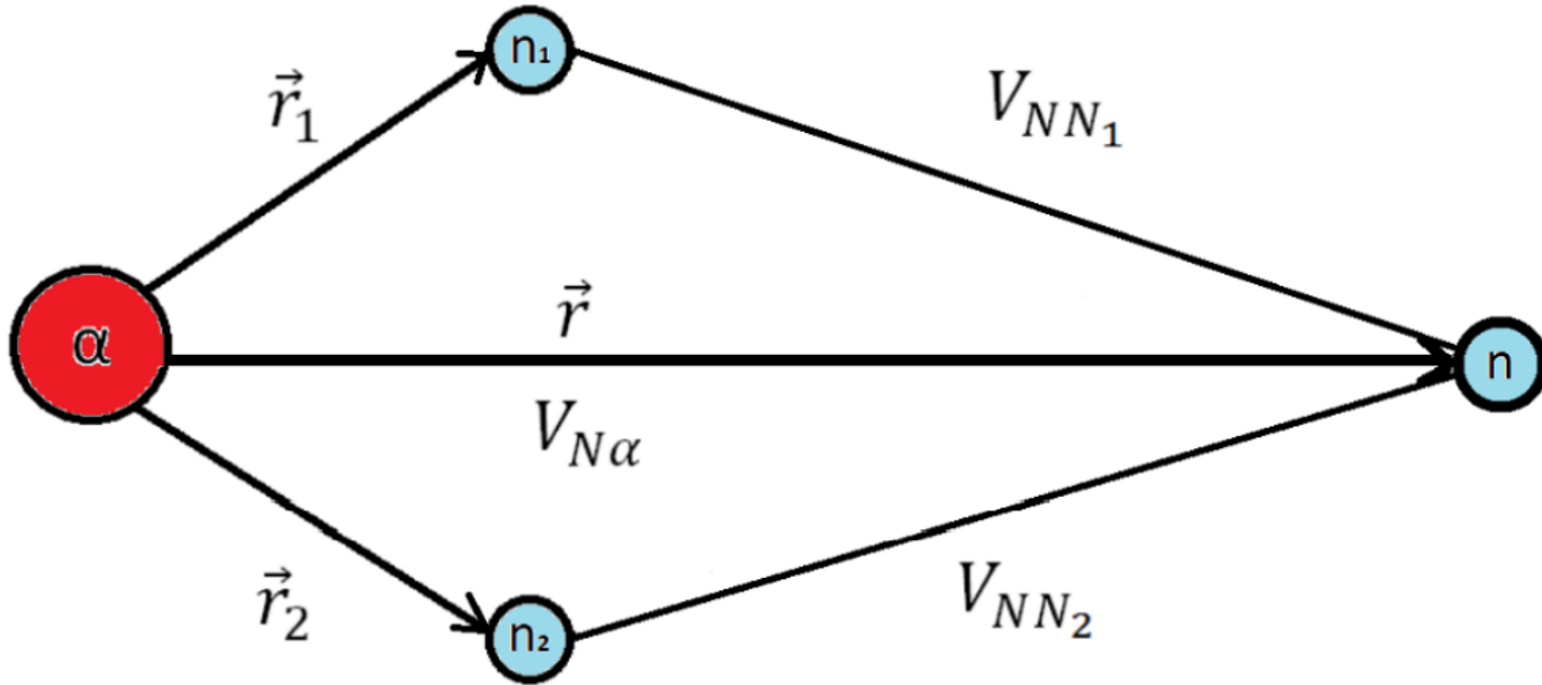
$$\begin{cases} \left(T - E + V_{coul} + \frac{4V_{3/2} + V_{5/2}}{5} \right) \Psi_{{}^8\text{He}+p} + \frac{2}{5} (V_{5/2} - V_{3/2}) \Psi_{{}^8\text{Li}+n} = 0 \\ \left(T - (E - 0.941) + \frac{V_{1/2} + 2V_{3/2}}{5} \right) \Psi_{{}^8\text{Li}+n} + \frac{2}{5} (V_{5/2} - V_{3/2}) \Psi_{{}^8\text{He}+p} = 0 \end{cases}$$



Энергия отсчитывается от порога ${}^8\text{He}(0^+, 2) + p$

Произвольная вариация потенциалов $V_{5/2}$ и $V_{3/2}$
(чистые каналные и изоспиновые
состояния)

Кластерная модель α -3N



$$V_{\alpha N}(r) = V_0^{(\alpha)} e^{(-r/r_0^{(\alpha)})^2}$$

$$V_{NN_k} = V_c(|\vec{r} - \vec{r}_k|)[a_0 + a_\sigma(\vec{\sigma}\vec{\sigma}_k) + a_\tau(\vec{\tau}\vec{\tau}_k) + a_{\sigma\tau}(\vec{\sigma}\vec{\sigma}_k)(\vec{\tau}\vec{\tau}_k)]$$

Калибровка потенциалов на
«известный» резонанс ${}^7\text{He}$.
Двухканальная задача.

| | |
|---------------------------|--------------|
| ${}^6\text{He}^*(2^+, 1)$ | <u>1.797</u> |
| ${}^6\text{He}(0^+, 1)$ | <u>G.S.</u> |

$$\begin{aligned} \langle {}^6\text{He}(0^+) + n | V | {}^6\text{He}(0^+) + n \rangle &= \frac{2}{3} \langle {}^6\text{Li}(0^+) + n | V | {}^6\text{Li}(0^+) + n \rangle + \\ &+ \frac{2\sqrt{2}}{3} \langle {}^6\text{Li}(0^+) + n | V | {}^6\text{He}(0^+) + p \rangle + \frac{1}{3} \langle {}^6\text{He}(0^+) + p | V | {}^6\text{He}(0^+) + p \rangle \end{aligned}$$

$$\begin{aligned} \langle {}^6\text{He}(0^+) + n | V | {}^6\text{He}(2^+) + n \rangle &= \\ &= \frac{2}{3} \langle {}^6\text{Li}(0^+) + n | V | {}^6\text{Li}(2^+) + n \rangle + \frac{\sqrt{2}}{3} \langle {}^6\text{Li}(0^+) + n | V | {}^6\text{He}(2^+) + p \rangle \\ &+ \frac{\sqrt{2}}{3} \langle {}^6\text{Li}(2^+) + n | V | {}^6\text{He}(0^+) + p \rangle + \frac{1}{3} \langle {}^6\text{He}(0^+) + p | V | {}^6\text{He}(2^+) + p \rangle \end{aligned}$$

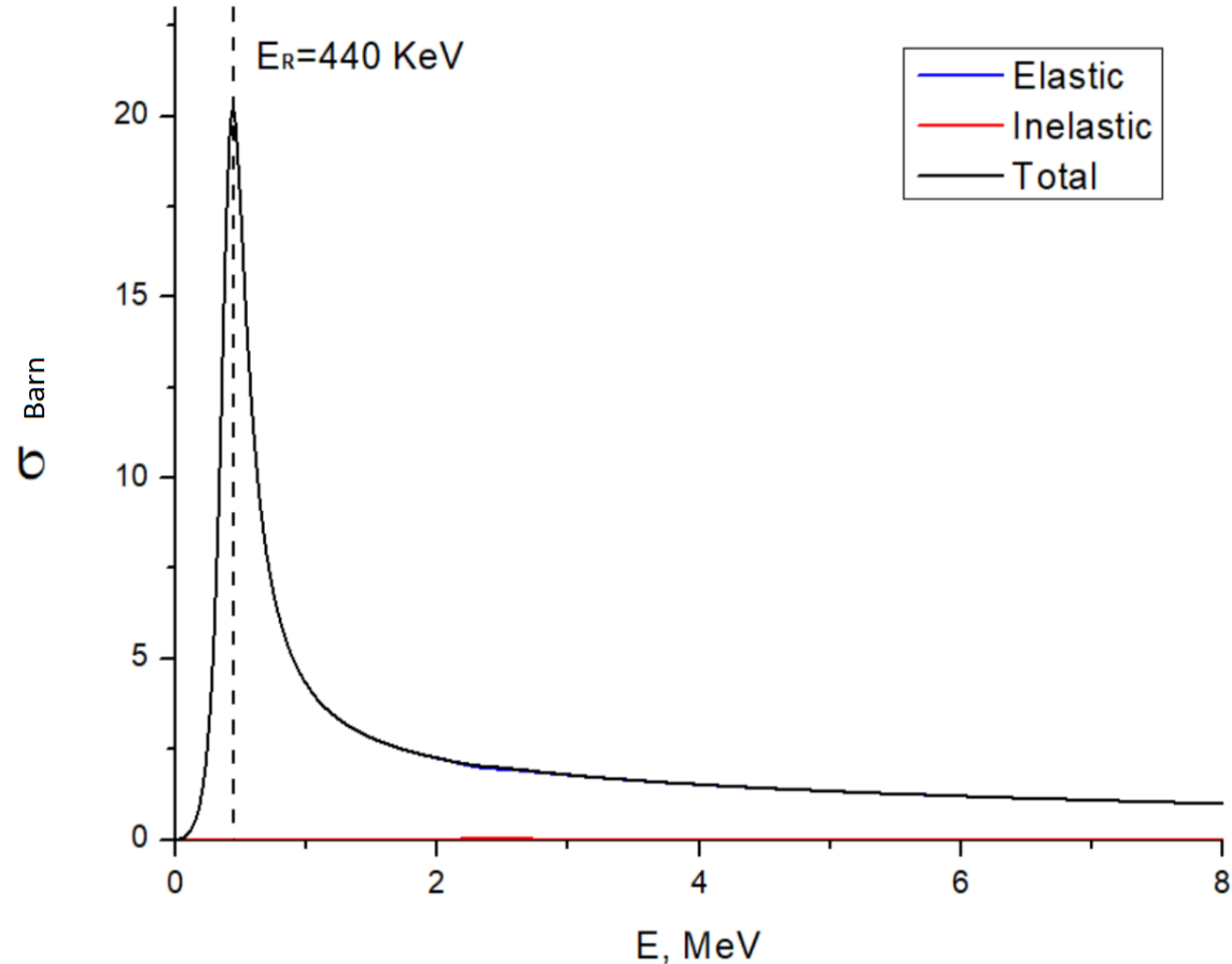
Результаты расчетов

- Энергия резонанса $E_R \sim 0.44$ МэВ

(Хорошее согласование с имеющимися данными)

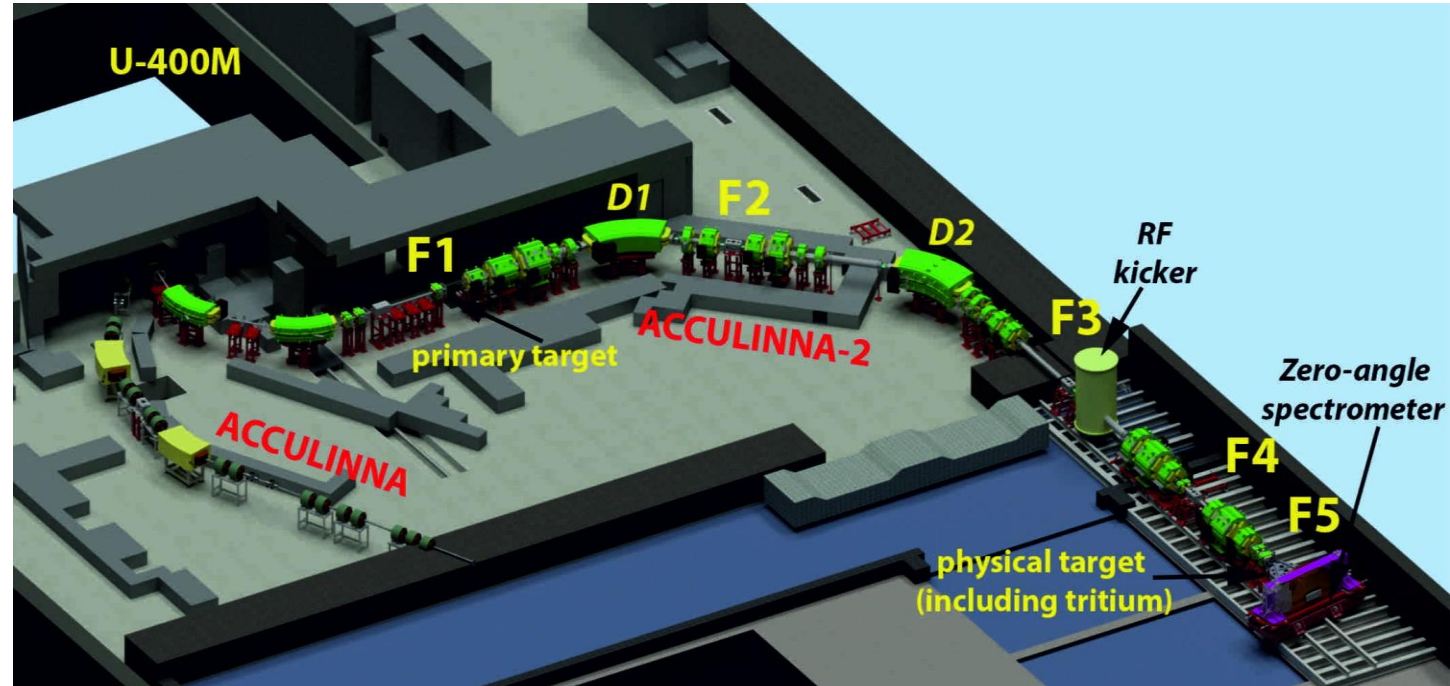
- Ширина резонанса $\Gamma \sim 0.29$ МэВ

(Результат не согласуется, известная из эксперимента ширина почти в 2 раза меньше)



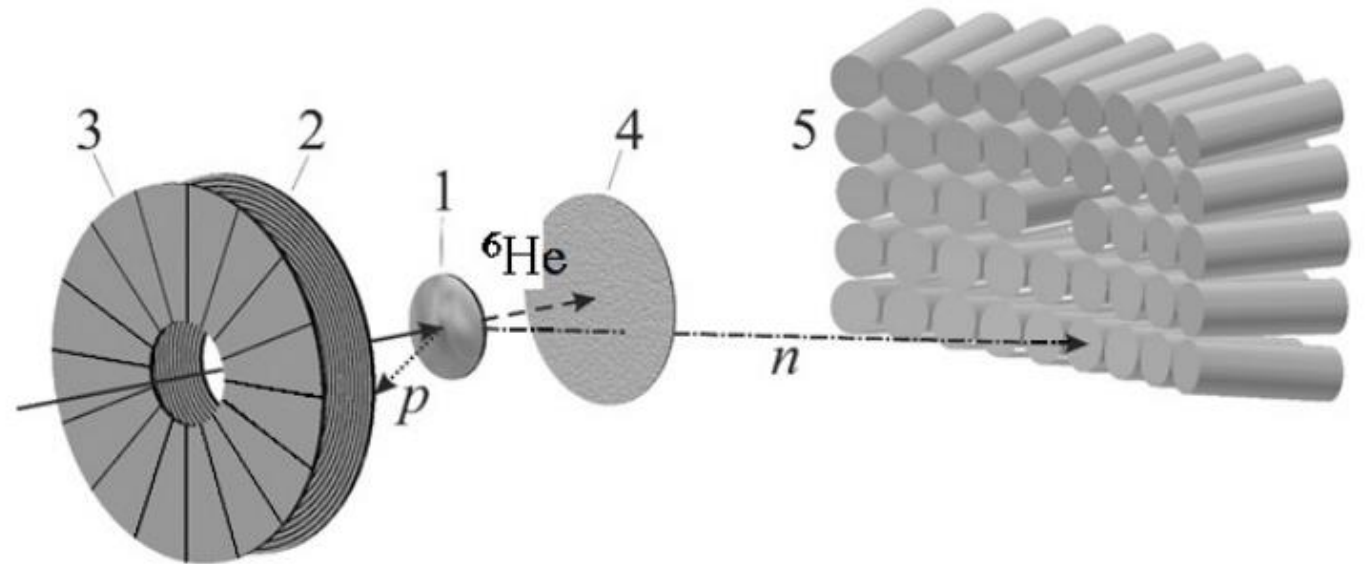
Эксперимент на Акулине 2 (ОИЯИ ЛЯР)

- Реакция $6\text{He}(d,p)7\text{He}$
- Первичный пучок 11Be из тяжелоионного циклотрона U-400M 33.4 А МэВ. Бериллиевая производящая (первичная) тонкая мишень 1мм
- 29 А МэВ вторичный пучок 6He (чистота $\sim 92\%$)
- Вторичная дейтронная мишень 6мкм (охлажденный до 26К газ при давлении 1.48 атм, $\sim 5 \cdot 10^{20}$ атомов/см²)



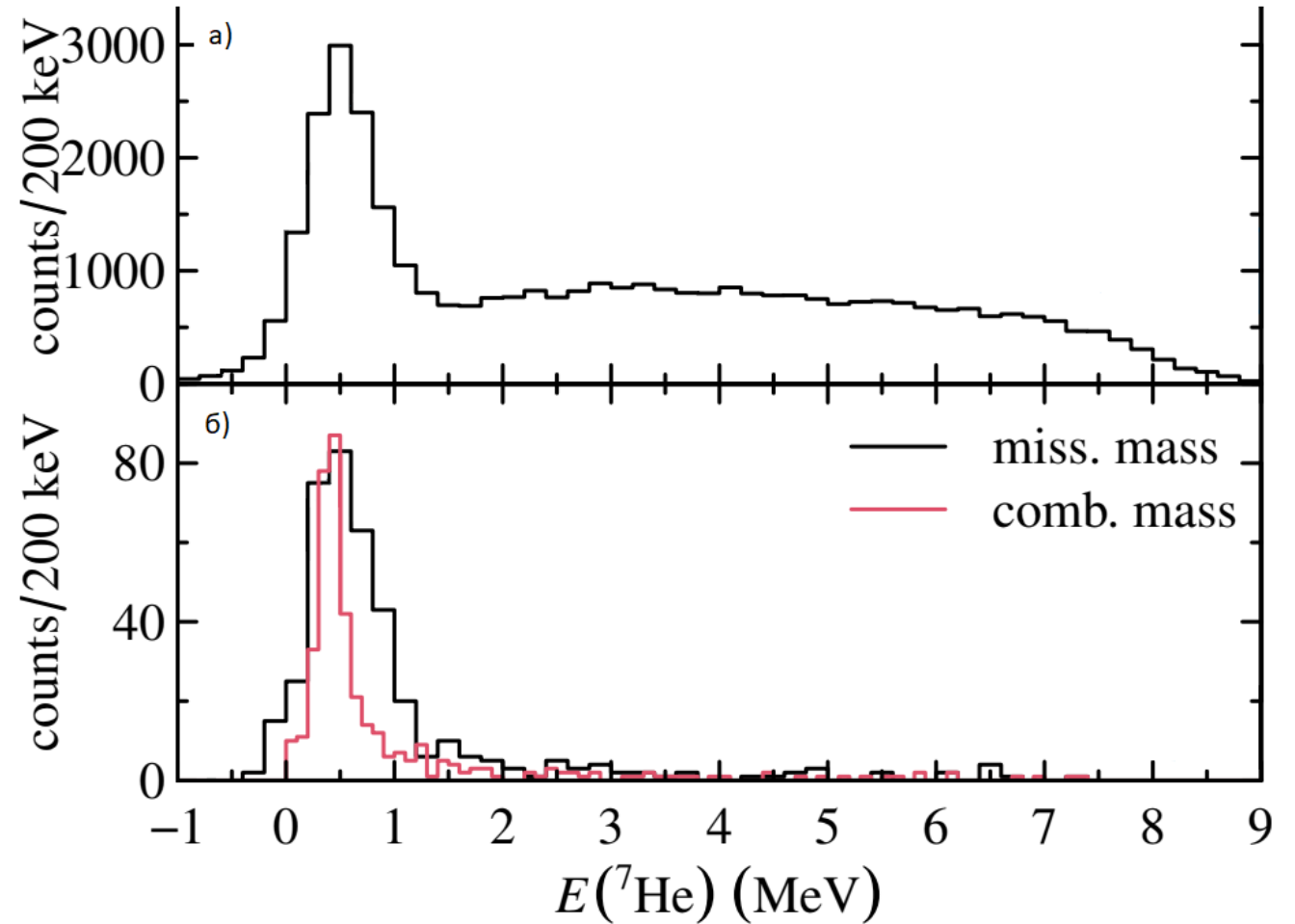
Экспериментальная установка

- 1) Дейтронная мишень
- 2) Двусторонний кремниевый телескоп, регистрирующий протоны, летящие назад
- 3) Вето детектор
- 4) Пластиковый ToF детектор
- 5) Сильбеновая стенка, регистрирующая нейтроны



Полученные спектры

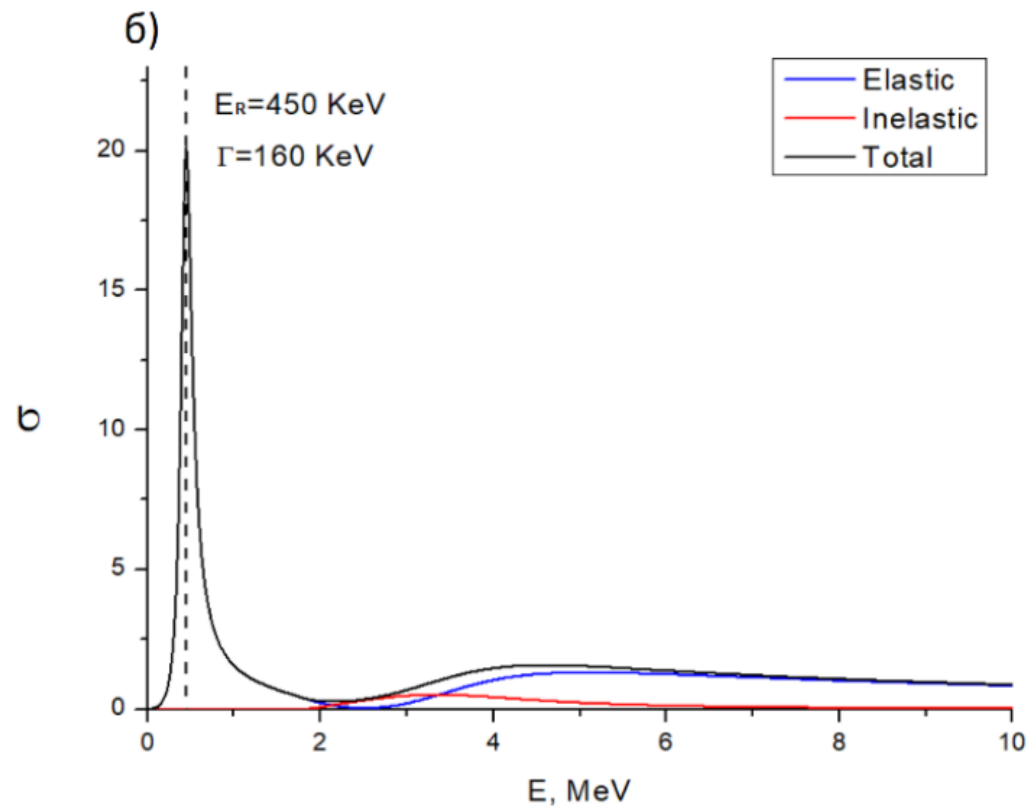
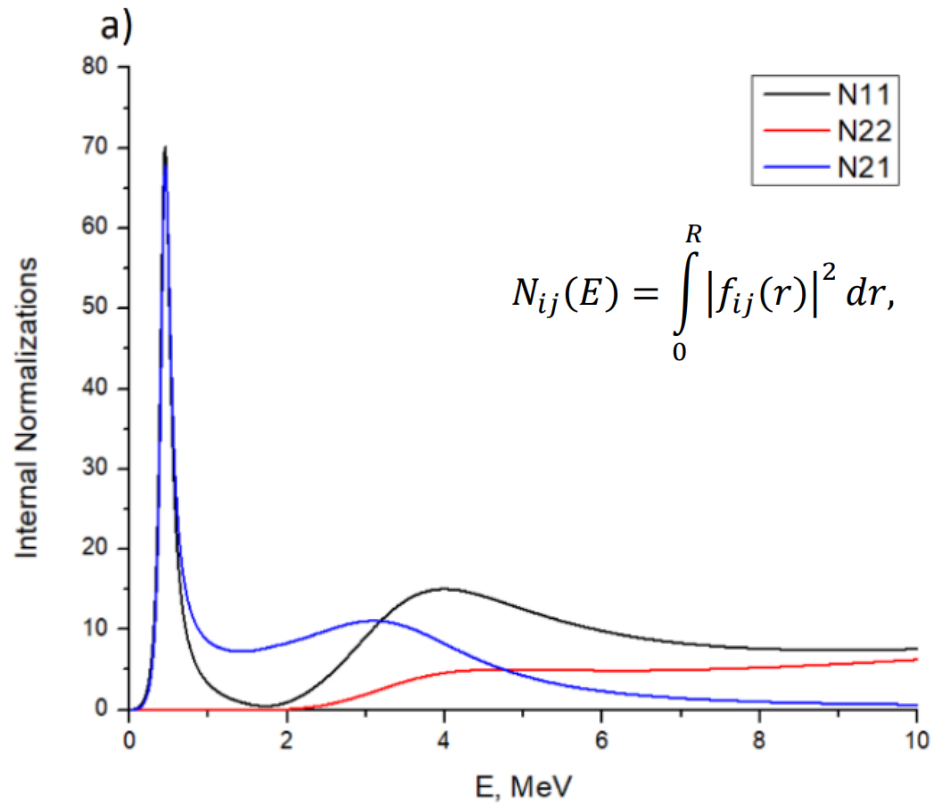
- а) Спектр недостающей массы
- б) Спектр комбинированной массы



Вариация межканальных потенциалов
 V_{11} , V_{12} и V_{22}

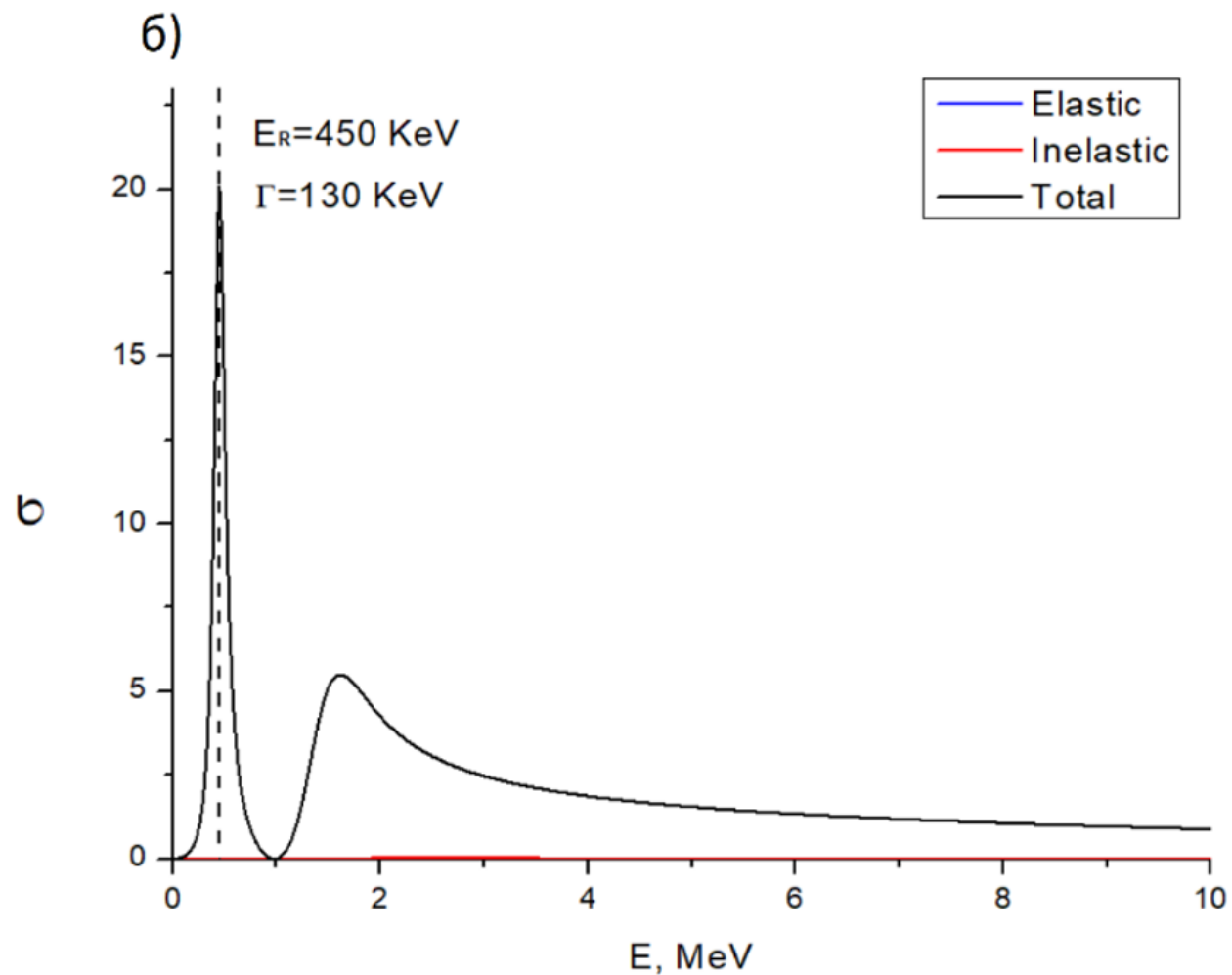
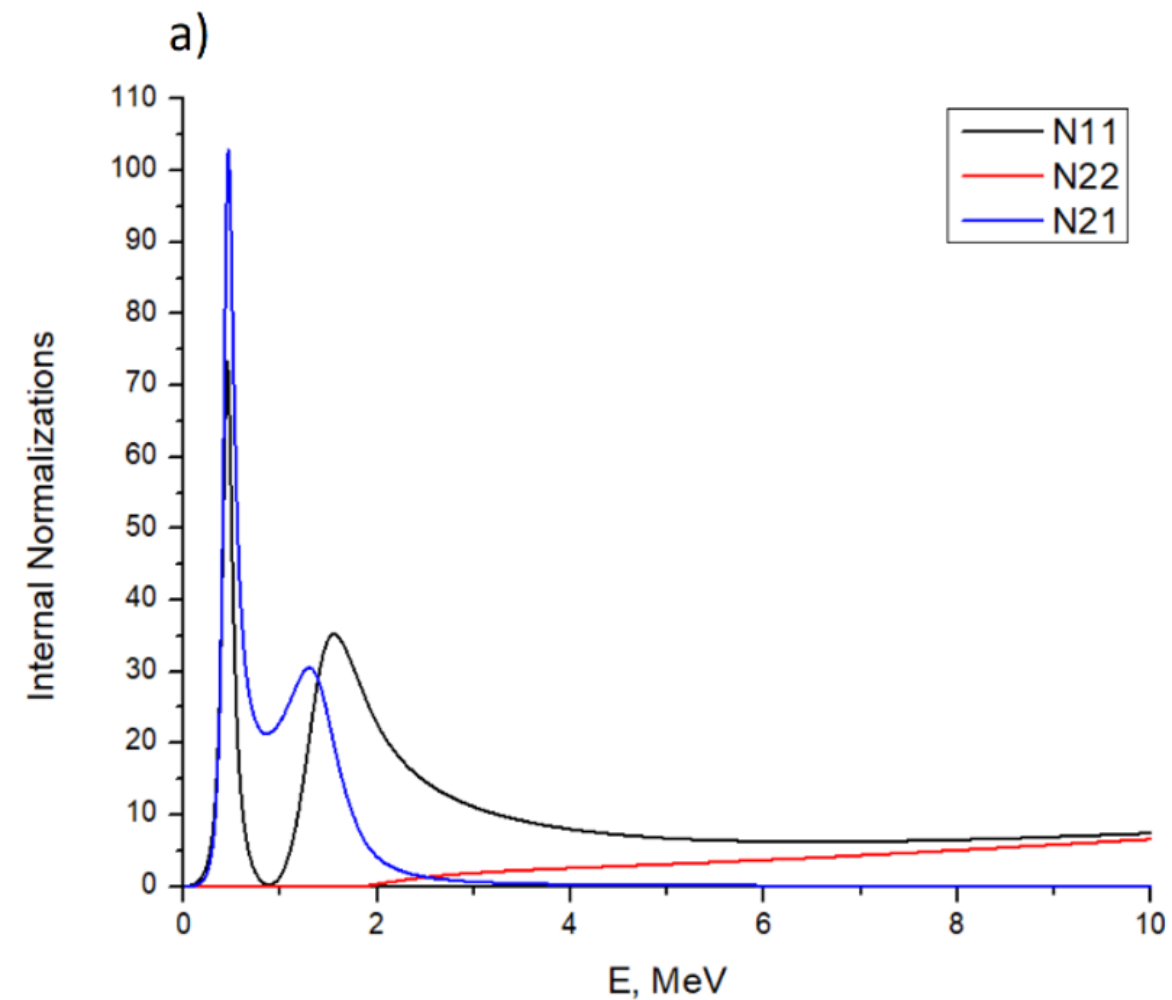
Общие закономерности, проявляющиеся
в двухканальной задаче с порогом.

Подбор «идеальных» параметров потенциалов (1)

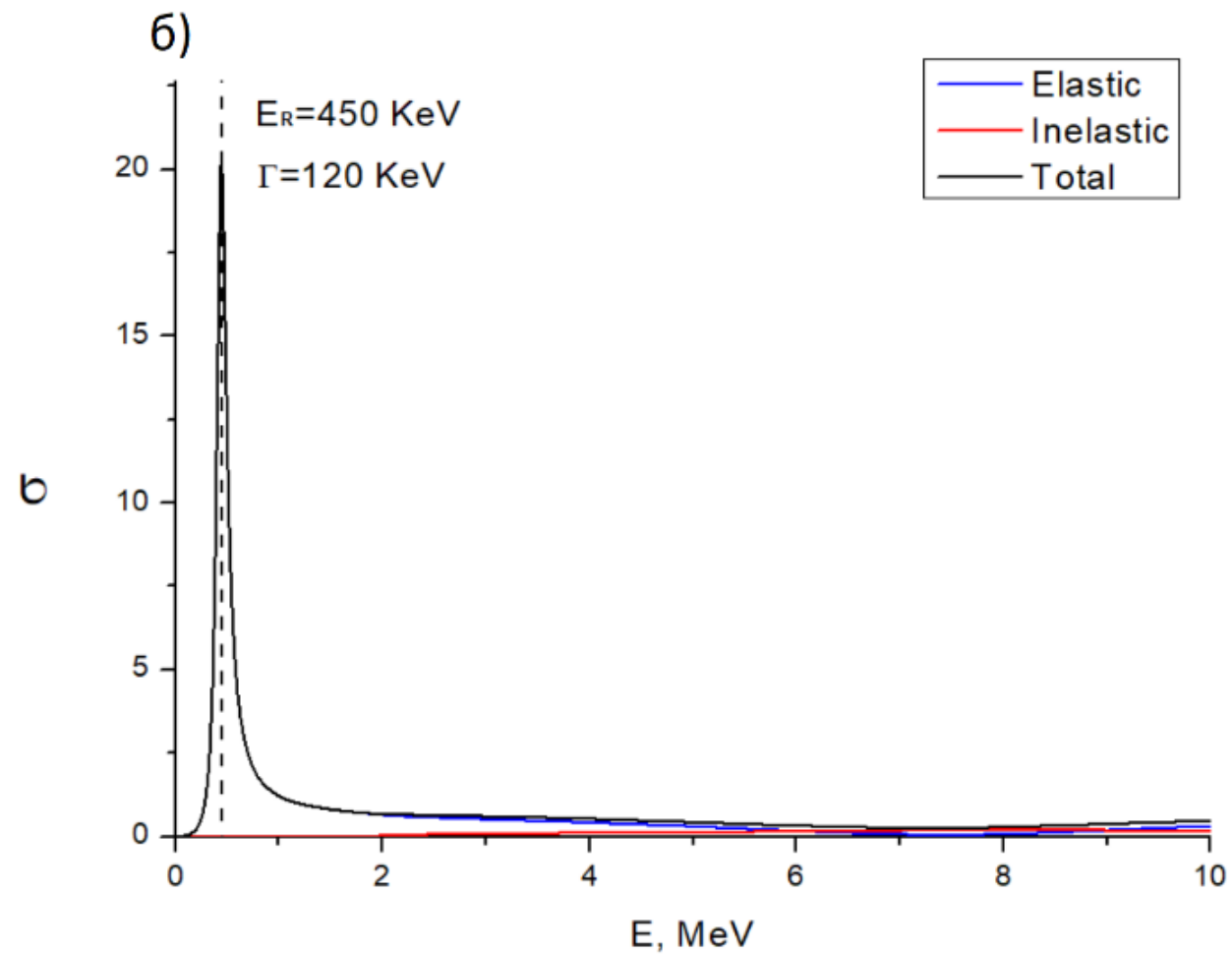
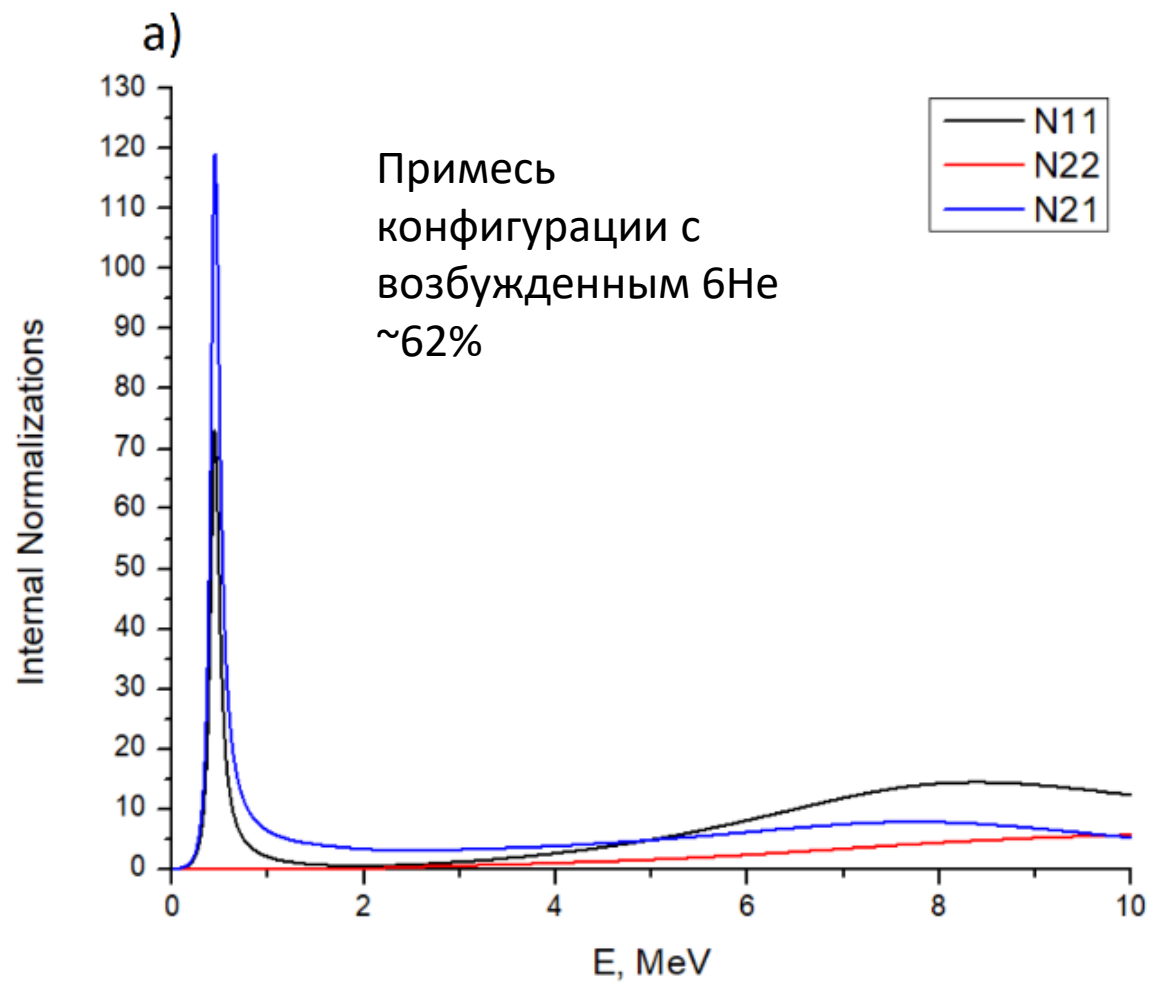


почти 50% примесь конфигурации $|\ ^6\text{He}(2^+) + n(p_{3/2}) \rangle$ к $|\ ^6\text{He}(0^+) + n(p_{3/2}) \rangle$

Подбор «идеальных» параметров потенциалов (2)



Подбор «идеальных» параметров потенциалов (3)



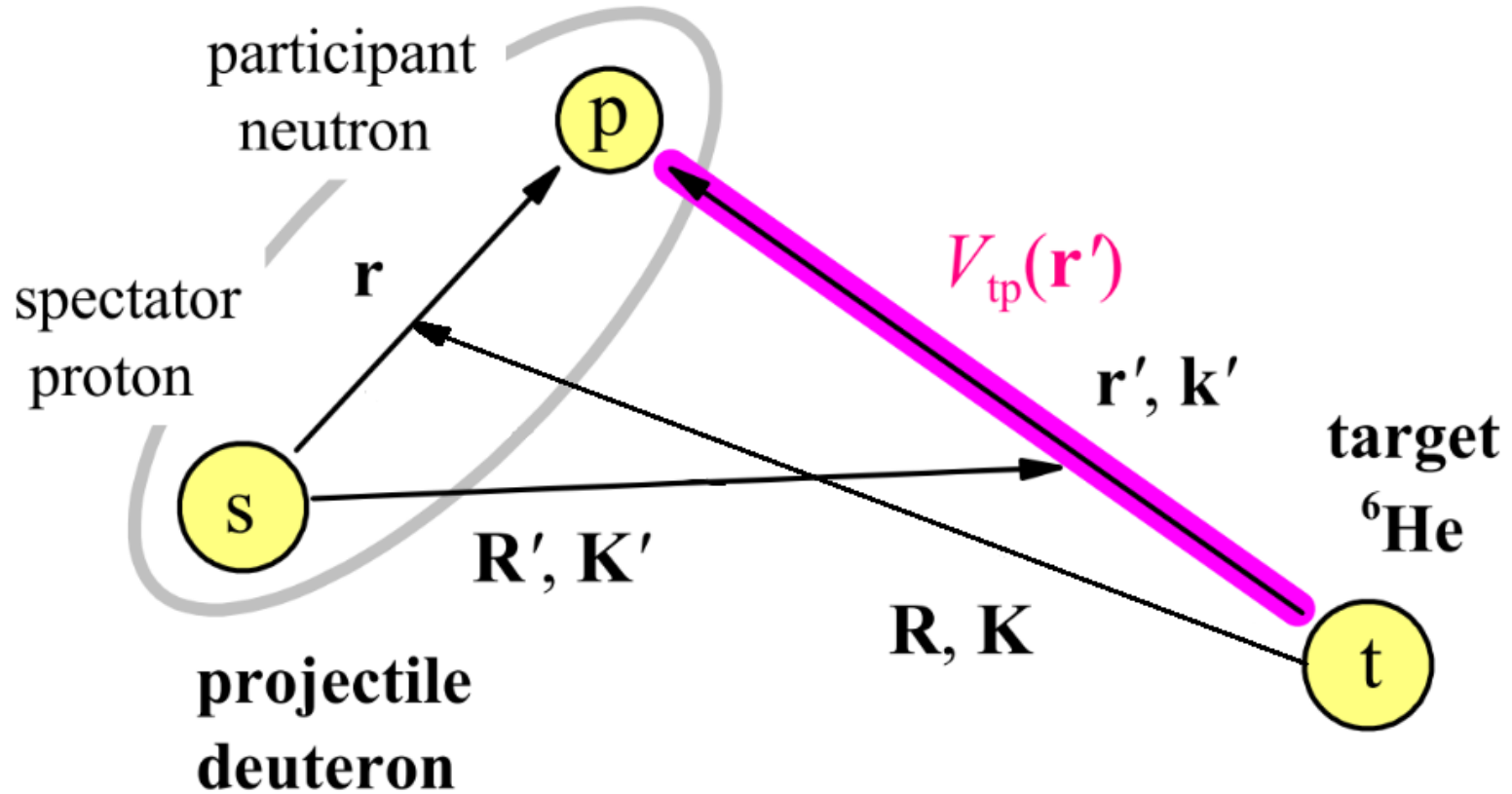
[15] S. Baroni, P. Navratil, S. Quaglioni. // Phys. Rev. C, 87, 034326, 2013

| ${}^7\text{He } J^\pi$ | ${}^6\text{He} - n(lj)$ | NCSM | CK | VMC | GFMC | Exp. |
|------------------------|-------------------------|-------|------|-------|-------|--|
| $3/2_1^-$ | $0^+ - p \frac{3}{2}$ | 0.56 | 0.59 | 0.53 | 0.565 | 0.512(18) [39] 0.64(9) [53] 0.37(7) [48] |
| $3/2_1^-$ | $2_1^+ - p \frac{1}{2}$ | 0.001 | 0.06 | 0.006 | | |
| $3/2_1^-$ | $2_1^+ - p \frac{3}{2}$ | 1.97 | 1.15 | 2.02 | | |
| $3/2_1^-$ | $2_2^+ - p \frac{1}{2}$ | 0.12 | | 0.09 | | |
| $3/2_1^-$ | $2_2^+ - p \frac{3}{2}$ | 0.42 | | 0.30 | | |

При увеличении примеси второй конфигурации до значений, воспроизводящих данное соотношение, ширина падает до величины меньше 100 КэВ

Необходима более сложная модель с учетом антисимметризации трех нейтронов

QFS PWIA модель. Учет механизма реакции.



$$\mathbf{r}' = \mathbf{R} + \frac{M_s}{M_s + M_p} \mathbf{r} = \mathbf{R} + \alpha \mathbf{r}$$

$$\begin{aligned} \mathbf{R}' &= -\frac{M_t}{M_t + M_p} \mathbf{R} + \frac{M_p(M_t + M_p + M_s)}{(M_s + M_p)(M_t + M_p)} \mathbf{r} \\ &= -\beta \mathbf{R} + \gamma \mathbf{r} \end{aligned}$$

$$\mathbf{K} = \frac{M_t}{M_b + M_t} \mathbf{K}_{\text{in}}$$

$$\mathbf{K}' = \frac{M_s}{M_b + M_t} \mathbf{K}_{\text{in}} - \mathbf{K}_{\text{out}}$$

Простая QFS PWIA модель. Учет механизма реакции.

Переходная амплитуда в приближении квазифри:

$$T_{fi}(\mathbf{K}', \mathbf{k}', \mathbf{K}) = \int d^3r d^3R \Psi_{tp}^*(\mathbf{k}', \mathbf{r}') \Psi_{s(tp)}^*(\mathbf{K}', \mathbf{R}') \underline{V_{tp}(\mathbf{r}')} \Psi_{sp}(\mathbf{r}) \Psi_{t(sp)}(\mathbf{K}, \mathbf{R}),$$

Плосковолновое приближение:

$$\Psi_{t(sp)}(\mathbf{K}, \mathbf{R}) = e^{i\mathbf{K}\mathbf{R}}, \quad \Psi_{s(tp)}^*(\mathbf{K}', \mathbf{R}') = e^{-i\mathbf{K}'\mathbf{R}'}.$$

После всех преобразований имеем:

$$T_{fi}(\mathbf{K}', \mathbf{k}', \mathbf{K}) = T_{fi}(\mathbf{K}_{\text{out}}, \mathbf{k}', \mathbf{K}_{\text{in}}) = T_{\text{QFS}}^\dagger(\mathbf{k}', \mathbf{q}_2) \Phi_{sp}(\mathbf{q}_1).$$

$$\text{где: } \Phi_{sp}(\mathbf{q}_1) = \int d^3r e^{-i\mathbf{q}_1\mathbf{r}} \Psi_{sp}(\mathbf{r})$$

$$T_{\text{QFS}}^\dagger(\mathbf{k}', \mathbf{q}_2) = \int d^3r \psi_{tp}^\dagger(\mathbf{k}', \mathbf{r}) V_{tp}(\mathbf{r}) e^{-i\mathbf{q}_2\mathbf{r}}$$

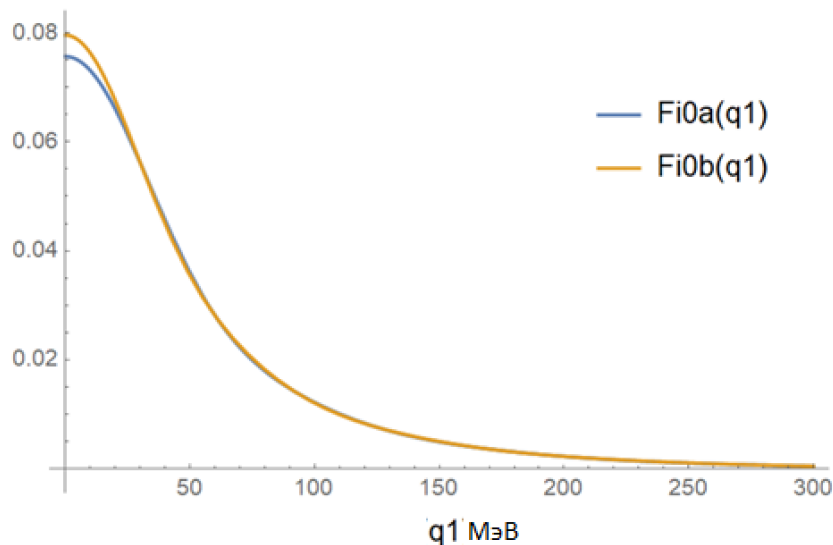
Фурье преобразование волновой функции дейтрона

Сопряженная T-матрица

Простая QFS PWIA модель. Учет механизма реакции.

$$\frac{d\sigma}{dE_T d\Omega_{cm} d\Omega_{k'}} = \frac{2\sqrt{M_{tp}^3 M_{s(tp)}^3 (E_K + Q - E_T) E_T}}{(2J_i + 1) v_K (2\pi)^5} \sum_{M_i \mu'_s \mu'_p} |T_{fi, \mu'_s \mu'_p, J_i M_i}(\mathbf{K}', \mathbf{k}', \mathbf{K})|^2$$

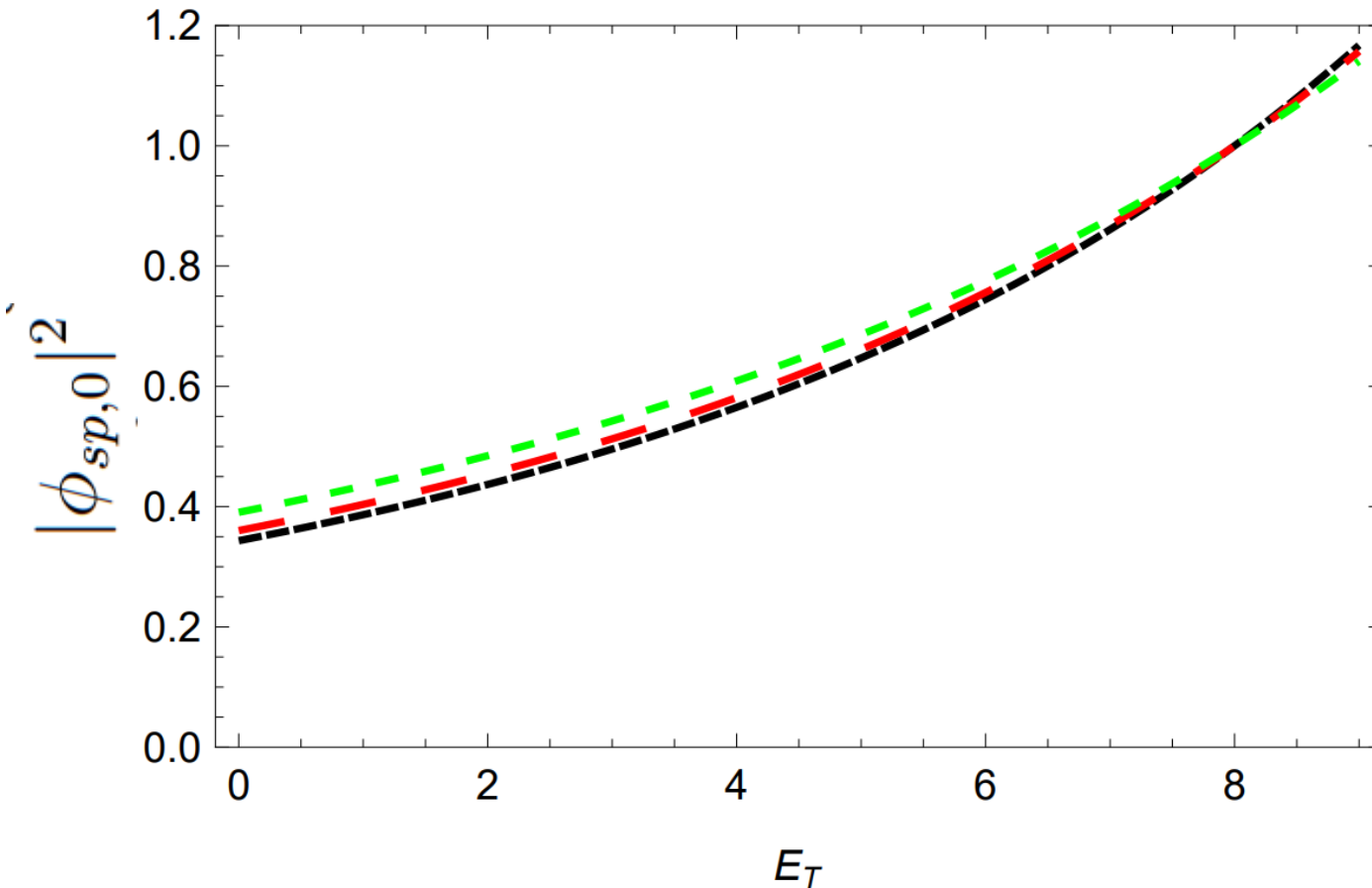
$$\frac{d\sigma}{dE_T d\Omega_{cm}} = \frac{\sqrt{M_{tp}^3 M_{s(tp)}^3 (E_K + Q - E_T) E_T}}{v_K} \frac{8}{\pi} |\phi_{sp,0}(q_1)|^2 \sum_{jl} |T_{jl}(q_2, k')|^2$$



$$\phi_{sp,0}(q) = \frac{1}{q_1} \int dr F_0(qr) \psi_{sp,0}(r)$$

$$T_{jl}(q_2, k') = \frac{1}{k'} \int dr F_l(q_2 r) V_{jl}(r) f_{jl}(k' r)$$

Дейтронный фактор



В рассматриваемом энергетическом диапазоне, фактор дейтрона меняет свое значение в 2 раза. Это необходимо учитывать в разговоре о спектроскопических свойствах состояний ${}^7\text{He}$.

Результаты по ${}^7\text{He}$

Показано, как в зависимости от величин недиагональных и диагональных потенциалов менялись примеси конфигурации $|\text{}^6\text{He}(2^+) + n(p_{3/2})\rangle$ к $|\text{}^6\text{He}(0^+) + n(p_{3/2})\rangle$ в основном состоянии ${}^7\text{He}(3/2_1^-)$, и как это влияло на ширину данного состояния.

Подобраны новые наборы параметров NN-взаимодействия, наиболее удачно воспроизводящие энергетические характеристики резонанса.

Показано, что в отсутствии примеси конфигурации $|\text{}^6\text{He}(2^+) + n(p_{3/2})\rangle$ полученная в рамках нашей модели ширина превышает экспериментальную в 1.5-2 раза.

Показано, что энергетическое положение состояния ${}^7\text{He}(3/2_2^-)$ не коррелирует с величиной данной примеси.



СПАСИБО ЗА ВНИМАНИЕ

Семинар НИИЯФ 15.09.22

